

АКАДЕМИЯ НАУК СССР  
ИНСТИТУТ КОСМИЧЕСКИХ ИССЛЕДОВАНИЙ

# КОСМИЧЕСКОЕ ПРИБОРОСТРОЕНИЕ



---

ИЗДАТЕЛЬСТВО «НАУКА»

МОСКВА

1982

етра ( $U_{F1}$ ,  $U_{F2}$ ,  $A_{1,2}$ ,  $A_2$ ), всего же измерения РС МП возвращает свое состояние и останавливается. С в зависимости от числа приближности или температуры  $T_e$ . передаваемых по каналам ЕТМС, конечного физического параметра «шумит» ячейки с соответствующими при помощи заполненной в ПЗУ линейной подпрограмме, также размещательное значение  $T_e$  и передает РМС.

бора (24 с) первые две секунды выдача сигналов калибровок, слуша на обе системы телеметрии. Остается измерение  $T_e$  и передача этих данных  $T_e$  МП передает запомненные (один аналоговый) канала РТС. Го цифрового канала принадлежат пришедшие четыре бита используются соединены параллельно, и, так как в кадре, а другой во второй, исходит не только синхроимпульсно и вспомогательными импульсами. Таким образом, восемь проводов магнитного канала передает усиление ЦАП. Передача информации производится со скоростью 446 бит/с. Не только данные измерения РС, но и МП еще опрашивает: текущее сленное истинное значение электролюса текста программы микропрограммы передается в 8 циклах. Всего полу-Блок передачи начинается двумя о режиме работы прибора, заканчиваясь двумя синхрословами.

работы МП. Одной из важнейших программ измерения, обработки данных системы телеметрии. Благодаря других мини-ЭВМ оказалось возможным отработать на этих машинах, проверка была проведена на собранной программе вместе с таблицами по-дов ПЗУ обеспечено только послеющей программы на подпрограммы, кратное обращение.

ПЗУ прибора КМ-3, проверялись предстартовых испытаний при по-дании фирмы «Интерспут» [7], размещен-

ных на двух небольших платах, микро-ЭВМ использовалась для контроля работы МП и для дешифровки и печати таблиц данных части информации ЕТМС во время испытаний, а также на первом этапе работы спутника ИК-19 после запуска в реальном масштабе времени.

Результаты, полученные за первый год работы спутника ИК-19 подтвердили работоспособность и эффективность описанной выше системы.

## ЛИТЕРАТУРА

1. Intersil IM 6100 CMOS 12 bit microprocessor. Cupertino: Intersil, 1976.
2. PDP-B/E, PDP-8/M, PDP-B/F small computer handbook. Maynard: Digital Equipment Corp., 1973.
3. The TTL data book for design engineers. Freising: Texas Instruments Deutschland, 1978.
4. Таблица аналогов интегральных схем СССР и зарубежных фирм. М.: В/О «Электронорттехника», 1978.
5. Gasdichte Nickel-Cadmium Akkumulatoren, Rundzellen mit Sinterelektroden, Prospekt 40396, Varta AG, Hannover.
6. Кубат К., Клас Я., Шмидauer Я., Афонин В. В. Прибор КМ-3 для измерения электронной температуры и распределения скоростей тепловых электронов.— В кн.: Аппаратура для исследования внешней ионосферы. М.: ИЗМИРАН, 1980, с. 120.
7. Intercept Jr. IM 6100 microprocessor tutorial systems. Cupertino: Intersil, 1977.

УДК 533.51.535.621.38

## ОЦЕНКА ТОЧНОСТИ ИЗМЕРЕНИЙ ТЕМПЕРАТУРЫ ЭЛЕКТРОНОВ МЕТОДОМ ВЫСОКОЧАСТОТНОГО ЗОНДА

Ю. Д. Крисилов, В. Г. Пядышев, В. В. Афонин,  
В. И. Старцев

Для определения температуры электронов космической плазмы  $T_e$  применяется метод, основанный на измерении амплитуды  $U_{Te}$  видеопульсов, возникающих в результате смещения собственного потенциала изолированного зонда при подаче на него радиопульсов с гармоническим заполнением [1, 2].

Статическая погрешность измерения  $T_e$ , которая зависит в основном от стабильности амплитуды гармонического напряжения и от постоянства параметров измерителя  $U_{Te}$ , рассмотрена в [2, 3]. В данной работе исследованы возможности уменьшения динамической погрешности, которая определяется следующими факторами. Во-первых, сопротивление цепи между зондом и корпусом космического аппарата имеет активно-емкостный характер и постоянная времени  $\tau$  этой цепи вызывает искажения фронтов видеопульсов [3]. Во-вторых, собственный потенциал зонда относительно корпуса космического аппарата  $u_{\text{соб}}$  изменяется

Зависимость из кото  
до  $\delta_t U$   
Знача  
аппарат  
 $T < \tau$ .  
возможны  
экстрапола  
чек време

$U_{TE}$

где  $U_{h1}$   
 $T/4$  от  
и  $U_{c2}$  —  
Если  
 $U_{h1} = U_{TE}$

На р  
погрешн  
измерен  
= 0,5;  
 $\delta U_2$  на  
 $\delta U_1$  =  $\delta$   
и не зав  
симосте  
стей инт  
 $U_2$  и  $U_1$   
ние  $\delta t_1$  при  
 $\delta t_1$ .

Вмес  
трим точ  
мическу  
стродейс  
ны. Реа  
 $\delta t_1, \delta t_2$ .

Полу  
= const  
ную изм  
дом при  
парата,  
достигат

На р  
при усл  
скорости  
При это  
составля

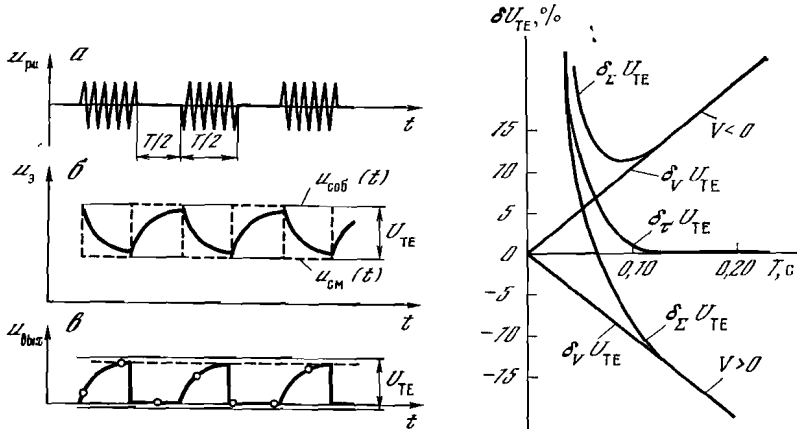


Рис. 1. Временные диаграммы напряжений радиоимпульсов (a)  
на зонде (б), на выходе измерителя (в)

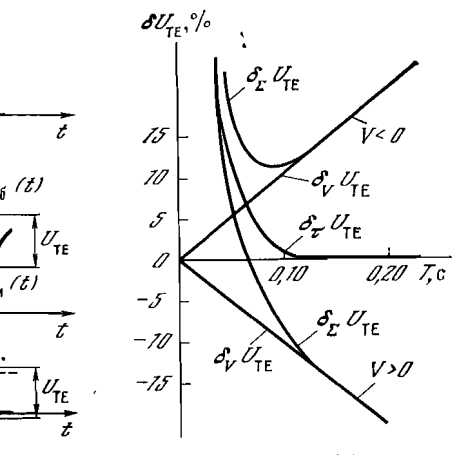
Рис. 2. Зависимости относительных погрешностей измерения  $U_{TE}$  от  $T$

во времени, что вызывает искажения вершин видеоимпульсов. Для определения тонкой структуры плазмы требуется повысить частоту измерения  $T_e$ , поэтому влияние этих факторов необходимо свести к минимуму.

Рассмотрим погрешность измерения  $U_{TE}$ , вызываемую искажением фронтов видеоимпульсов, наблюдаемых на зонде при подаче на него напряжения радиоимпульсов  $u_pu$  с периодом следования  $T$  и с огибающей формы меандра (рис. 1, a). На рис. 1, б штриховой линией представлена временная диаграмма напряжения на зонде  $u_z(t)$  для случая  $T \gg \tau$ , а сплошной линией — для случая  $T \approx \tau$ . При определении  $U_{TE}$  путем вычитания текущего смещенного потенциала  $u_{cm}(t)$  из значения  $u_{cоб}$ , измеренного непосредственно перед подачей на зонд радиоимпульса [1, 2], напряжение на выходе измерителя  $u_{вых}(t)$  представляет собой видеоимпульсы с затянутыми передними фронтами (рис. 1, в). При подаче этого напряжения на асинхронно опрашиваемый телеметрический канал на Землю передаются значения  $u_{вых}(t)$ , отмеченные точками на рис. 1, в. Очевидно, что это сопровождается потерей информации и значительными отклонениями измеренного сигнала от величины  $U_{TE}$ .

Для повышения информативности и точности измерений необходимо перед подачей на телеметрию преобразовать импульсы  $u_{вых}(t)$  (рис. 1, в) в постоянное напряжение, равное пиковому значению (штриховая линия на рис. 1, в). Можно показать, что в этом случае относительное отклонение  $\delta_t U_{TE}$  пикового значения амплитуды импульсов от истинного значения  $U_{TE}$  определяется выражением

$$\delta_t U_{TE} = 2 \exp(-T/2\tau). \quad (1)$$



напряжений радиоимпульсов (а)

и

искажения вершин видеоимпульсов. Для изучения плазмы требуется повысить частоту влияния этих факторов необходимо

измерения  $U_{TE}$ , вызываемую искажениями, наблюдаемыми на зонде при подаче импульсов  $u_{ri}$  с периодом следования  $T$  в кадра (рис. 1, а). На рис. 1, б штриховой линией диаграмма напряжения на зонде — для случая  $T \approx \tau$ . При вычитании текущего смещенного напряжения  $u_{соб}$ , измеренного непосредственно с радиоимпульса [1, 2], напряжение на зонде  $U_{TE}(t)$  представляет собой видеоимпульсы с фронтами (рис. 1, в). При подаче этого напряжения опрашиваемый телеметрический канал выдает сигналы  $u_{вых}(t)$ , отмеченные точками на графике. Сопровождается потерей информации о величинами измеренного сигнала от величины

мативности и точности измерений неизвестно телеметрию преобразовать импульсы единичное напряжение, равное пиковому значению на рис. 1, в). Можно показать, что отклонение  $\delta\tau U_{TE}$  пикового значения единичного значения  $U_{TE}$  определяется

(1)

Зависимость  $\delta\tau U_{TE}$  от  $T$  для  $\tau = 0,01$  с представлена на рис. 2, из которого следует, что при уменьшении отношения  $T/\tau$  с 9,2 до 6  $\delta\tau U_{TE}$  возрастает с 2 до 10 %.

Значение  $\tau$  может изменяться вдоль траектории космического аппарата в пределах  $10^{-5} - 10^{-1}$  с [3]. Рассмотрим случай, когда  $T < \tau$ . При этом по амплитуде напряжения на зонде вообще невозможно определить  $U_{TE}$ . Эта величина оценивается при помощи экстраполяции фронтов импульсов по координатам отдельных точек временной диаграммы. Можно показать, что

$$U_{TE} = U_{h1}^2 / (2U_{h1} - U_{h2}) + U_{c1}^2 / (2U_{c1} - U_{c2}) - U_{h2}, \quad (2)$$

где  $U_{h1}$  и  $U_{c1}$  — нарастание и спад напряжений на зонде за время  $T/4$  от начала нарастания и начала спада соответственно;  $U_{h2}$  и  $U_{c2}$  — то же, но за время  $T/2$ .

Если постоянные времени нарастания и спада равны, то  $U_{h1} = U_{c1} = U_1$ ,  $U_{h2} = U_{c2} = U_2$  и выражение (2) упрощается:

$$U_{TE} = 2U_1^2 / (2U_1 - U_2) - U_2. \quad (3)$$

На рис. 3 представлены графики зависимостей относительной погрешности  $\delta\tau U_{TE}$  от  $\delta U_1$  и  $\delta U_2$  — относительных погрешностей измерения  $U_1$  (а) и  $U_2$  (б) соответственно для соотношений  $T/\tau = 0,5; 1; 2; 4$ . Видно, что при уменьшении  $T/\tau$  влияние  $\delta U_1$  и  $\delta U_2$  на  $\delta\tau U_{TE}$  возрастает. Однако нетрудно показать, что при  $\delta U_1 = \delta U_2$  это влияние минимально. Здесь  $\delta\tau U_{TE} = \delta U_1 = \delta U_2$  и не зависит от  $T/\tau$ . На рис. 3 представлены также графики зависимостей  $\delta\tau U_{TE}$  от  $\delta t_1$  (а) и  $\delta t_2$  (б) — относительных нестабильностей интервалов времени между соседними замерами  $U_1$  и  $U_2$  (б),  $U_2$  и  $U_1$  (а) соответственно. Видно, что при уменьшении  $T/\tau$  влияние  $\delta t_1$  и  $\delta t_2$  на  $\delta\tau U_{TE}$  также возрастает. Это влияние минимально при  $\delta t_1 = \delta t_2$ .

Вместе с тем из рис. 3 следует, что при определении  $U_{TE}$  по трем точкам фронтов можно получить сколь угодно малую динамическую погрешность для любого  $T/\tau$ , следовательно, здесь быстродействие и точность измерения принципиально не ограничены. Реальные ограничения налагаются погрешности:  $\delta U_1$ ,  $\delta U_2$ ,  $\delta t_1$ ,  $\delta t_2$ .

Полученные выше соотношения справедливы при  $u_{соб}(t) = \text{const}$ . Рассмотрим погрешность измерения  $U_{TE}$ , обусловленную изменениями  $u_{соб}(t)$ . Указанные изменения вызываются рядом причин: изменением освещенности зонда и космического аппарата, работой различных бортовых устройств и др. Они могут достигать нескольких вольт в секунду.

На рис. 4 представлены временные диаграммы  $u_{соб}(t)$  и  $u_{вых}(t)$  при условиях:  $U_{TE}(t) = \text{const}$ ,  $u_{соб}(t)$  изменяется линейно со скоростью  $V = du_{соб}(t)/dt = \text{const} \neq 0$ , соотношение  $T/\tau \geq 10$ . При этом фронты импульсов не искажены и ранее рассмотренная составляющая погрешности  $\delta\tau U_{TE}$  практически исключена.

погрешно-

$\delta U_{TE}$

Зависи-

при умень-

Из харак-

видно, что

чин  $\tau$ ,  $V$  и

рующее с

грешность

Погреш-

если при с

из собствен-

времени  $t_1$

зонда изменя-

ется, то приме-

санного в

$\delta V U_{TE}$ . В

с помощью

ним в дру-

$u_{\text{соб}}(t_1)$

Здесь  $u_{\text{соб}}$

отстоящие

и  $t_2$ . При

$\delta V U_{TE}$ , от

$u_{\text{соб}}(t_2)$  и

Строго

ния  $u_{\text{соб}}(t_2)$

плотность.

трудности.

радиоимпу-

результаты

высокочастот-

этой погре-

шением его

нности следу-

ет радиоимпу-

средством

сов; 3) ум-

зонда поср

ЛИТЕРАТУРЫ

1. Hirao K.

sphere.-

2. Афонин

спутник

с. 254--

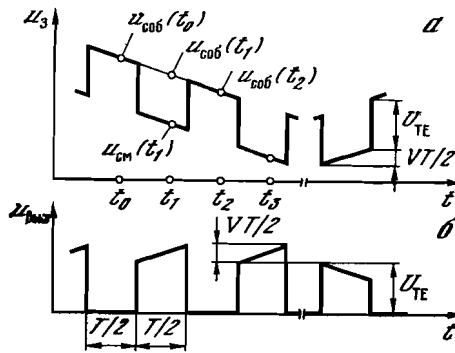
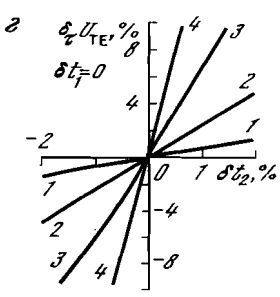
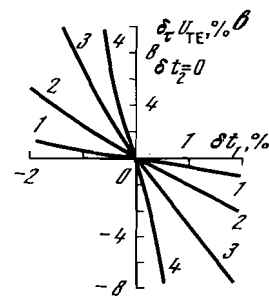
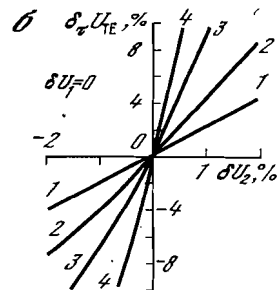
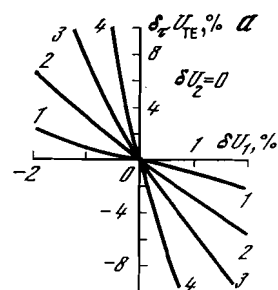


Рис. 3. Зависимости относительной погрешности измерения  $U_{TE}$  от относительных погрешностей измерения  $U_1$  (а) и  $U_2$  (б), а также от относительных нестабильностей интервалов времени между замерами  $U_1$  и  $U_2$  (с) и  $U_2$  и  $U_1$  (д);  
1 —  $T/\tau = 4$ , 2 —  $T/\tau = 2$ ,  
3 —  $T/\tau = 1$ , 4 —  $T/\tau = 0,5$ ;  
а, б —  $\delta t_1 = \delta t_2 = 0$ ; с, д —  $\delta U_1 = \delta U_2 = 0$

Рис. 4. Временные диаграммы при  $V \neq 0$ : напряжение на зонде (а) и выходе измерителя (б)

Искажение вершины импульса определяется изменением его амплитуды  $U(t)$  за время его длительности  $U(t) = U_{TE} + VT$ , которая к моменту окончания импульса достигает величины  $U(T/2) = U_{TE} + VT/2$ . Вызванная этим искажением максимальная относительная погрешность  $\delta_V U_{TE}$  определяется по формуле

$$\delta_V U_{TE} = VT/2U_{TE}. \quad (4)$$

Подобные искажения вершин импульсов получены в эксперименте [1, 4]. На рис. 2 представлена зависимость  $\delta_V U_{TE}$  от  $T$  при  $U_{TE} = 100$  мВ,  $V = \pm 200$  мВ/с.

Описанные выше погрешности  $\delta_U U_{TE}$  и  $\delta_V U_{TE}$  влияют на результат измерения  $U_{TE}$  независимо друг от друга, поэтому общая

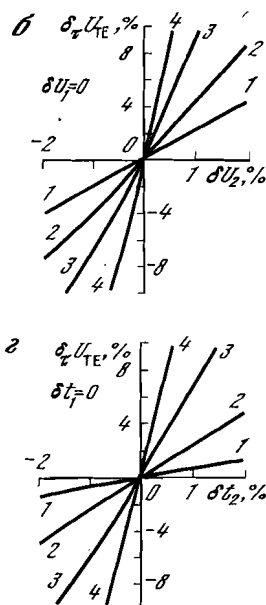


Рис. 3. Зависимости относительной погрешности измерения  $U_{TE}$  от относительных погрешностей измерения  $U_1$  (а) и  $U_2$  (б), а также от относительных нестабильностей интервалов времени между замерами  $U_1$  и  $U_2$  (а) и  $U_2$  и  $U_1^1$  (б);  
 1 —  $T/\tau = 4$ , 2 —  $T/\tau = 2$ ,  
 3 —  $T/\tau = 1,4$  —  $T/\tau = 0,5$ ;  
 а, б —  $\delta t_s = \delta t_2 = 0$ ; в, г —  $\delta U_1 = \delta U_2 = 0$

Рис. 4. Временные диаграммы при  $V \neq 0$ : напряжение на зонде (а) и выходе измерителя (б)

импульса определяется изменением его длительности  $U(t) = U_{TE} + Vt$ , время импульса достигает величины, обусловленной этим искажением максимальной погрешностью  $\delta_V U_{TE}$  определяется по формуле

$$(4)$$

Импульсов получены в эксперименте на зависимость  $\delta_V U_{TE}$  от  $T$  при  $U_{TE} =$

погрешности  $\delta_\tau U_{TE}$  и  $\delta_V U_{TE}$  влияют на результаты измерений друг от друга, поэтому общая

погрешность  $\delta_\Sigma U_{TE}$  с учетом (1) и (4) определяется их суммой:

$$\delta_\Sigma U_{TE} = \delta_\tau U_{TE} + \delta_V U_{TE} = 2 \exp(-T/2\tau) + VT/2U_{TE}. \quad (5)$$

Зависимости  $\delta_\tau U_{TE}$  и  $\delta_V U_{TE}$  от  $T$  (см. рис. 2) показывают, что при уменьшении  $T$  уменьшается  $\delta_V U_{TE}$ , но возрастает  $\delta_\tau U_{TE}$ . Из характера кривой  $\delta_\Sigma U_{TE}$ , также представленной на рис. 2, видно, что при известных статистических характеристиках величин  $\tau$ ,  $V$  и  $U_{TE}$  существует оптимальное значение  $T$ , минимизирующее среднюю (по ансамблю измерений) относительную погрешность.

Погрешность  $\delta_V U_{TE}$  можно было бы значительно снизить, если при определении  $U_{TE}$  вычитать смещенный потенциал  $u_{cm}(t_1)$  из собственного потенциала  $u_{соб}(t_1)$ , измеренного в тот же момент времени  $t_1$ , что и  $u_{cm}$  (рис. 4, а). При использовании одиночного зонда измерить  $u_{соб}(t_1)$  невозможно. Эксперименты показывают, что применение для этих целей дифференциального зонда, описанного в [4—6], также не всегда позволяет эффективно снизить  $\delta_V U_{TE}$ . Вместе с тем при  $V = \text{const}$   $u_{соб}(t_1)$  можно определить с помощью линейной интерполяции по значениям  $u_{соб}$ , измеренным в другие моменты времени:

$$u_{соб}(t_1) = [u_{соб}(t_2) - u_{соб}(t_0)]/2.$$

Здесь  $u_{соб}(t_0)$  и  $u_{соб}(t_2)$  — значения  $u_{соб}$ , измеренные в равнодistantные от  $t_1$  периодически следующие моменты замеров  $t_0$  и  $t_2$ . При этом ошибка нахождения  $u_{соб}(t_1)$ , а следовательно, и  $\delta_V U_{TE}$ , определяется только погрешностью измерения  $u_{соб}(t_0)$ ,  $u_{соб}(t_2)$  и реализации операции вычитания.

Строго говоря, изменение  $u_{соб}(t)$  нелинейно, и для определения  $u_{соб}(t_1)$  в принципе может применяться более точная интерполяция. Однако реализация ее на борту представляет некоторые трудности. Вместе с тем изменения  $u_{соб}(t)$  за период следования радиоимпульсов  $T$  близки к линейным.

**Выводы.** Динамическая погрешность существенно влияет на результаты измерения температуры электронов плазмы методом высокочастотного зонда. Основной вклад вносят составляющие этой погрешности, обусловленные инерционностью зонда и изменением его потенциала. Пути уменьшения динамической погрешности следующие: 1) оптимальный выбор периода следования радиоимпульсов, 2) уменьшение влияния инерционности зонда посредством экстраполяции амплитуды продетектированных импульсов; 3) уменьшение влияния изменений собственного потенциала зонда посредством интерполяции его значений.

#### ЛИТЕРАТУРА

1. Hira K. Layer structure in the electron temperature profile in the ionosphere. — J. Geomagn. and Geoelectr., 1966, vol. 18, N 3, p. 333—341.
2. Афонин В. В. и др. Исследования ионосферы, проведенные при помощи спутника «Интеркосмос-2». — Космич. исслед., 1973, т. 11, вып. 2, с. 254—265.

3. Пядышев В. Г. и др. Пути повышения точности измерений температуры электронов в ионосфере методом высокочастотного зонда.— Радиотехника, 1978, т. 33, № 4, с. 74—75.
4. Hirao K., Oyama K. An improved type of electron temperature probe.— J. Geomagnet. and Geoelectr., 1970, vol. 22, N 4, p. 393—402.
5. Hirao K., Oyama K. Electron temperature observed with the langmuir probe and electron temperature probe.— J. Geomagnet. and Geoelectr., 1971, vol. 23, N 2, p. 161—167.
6. Oyama K., Hirao K. Electron temperature probe experiments on the satellite «Taiyo».— J. Geomagnet. and Geoelectr., 1975, vol. 27, p. 321—330.

УДК 621.382.2

## ПРИБОР ДЛЯ ПРЯМОГО ИЗМЕРЕНИЯ ЭЛЕКТРОННОЙ ТЕМПЕРАТУРЫ В ИОНОСФЕРЕ

В. Марков, В. Генов, Хр. Близнаков

Прибор основан на модифицированном методе зонда Ленгмюра, впервые опубликованном в работе [1]. Исследование вольт-амперных характеристик проводится сравнением дифференциальных токов двух идентичных зондов.

Несложные теоретические выкладки дают выражение для величины отношения дифференциальных электронных зондовых токов в области торможения электронов, которое имеет следующий вид:

$$|dI_1/dI_2| \cdot dv = \exp |e| v_1 - v_2 | / kT |, \quad (1)$$

где  $I_1$  ( $I_2$ ) — ток и потенциал первого (второго) зонда;  $e$  — заряд электрона,  $k$  — постоянная Больцмана;  $T$  — электронная температура. Из выражения (1) видно, что это отношение зависит от электронной температуры и напряжения между двумя зондами. Положим,

$$\begin{aligned} \ln |dI_1/dI_2| \cdot dv &= e |v_1 - v_2| / kT = \ln 2, \\ T &= e |v_1 - v_2| / (k \ln 2) = k_1 \Delta v k, \end{aligned} \quad (2)$$

где  $\Delta v = v_1 - v_2$  (В),  $k_1 = e/k$ .

Выражение (2) показывает, если сконструировать систему таким образом, чтобы отношение дифференциальных зондовых токов поддерживалось постоянным, примерно  $|dI_1/dI_2| \cdot dv = 2$ , при помощи изменения измеряемого напряжения  $\Delta v$  до достижения заданного отношения токов, то возможно определить непосредственно электронную температуру. Для создания такой системы необходимо непрерывно измерять производные вольт-амперных характеристик. Если на пилообразное напряжение развертки накладывается синусоидальное напряжение небольшой амплитуды, то